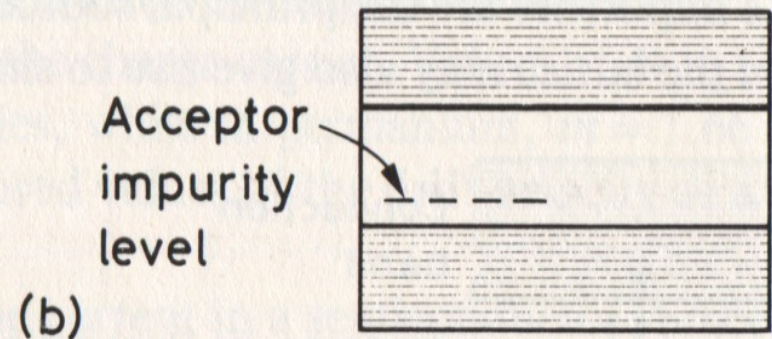
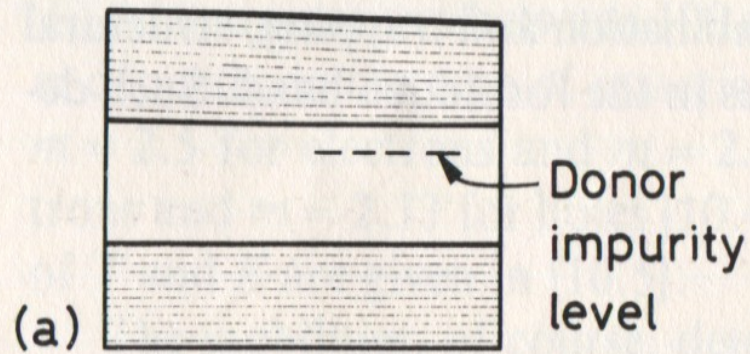
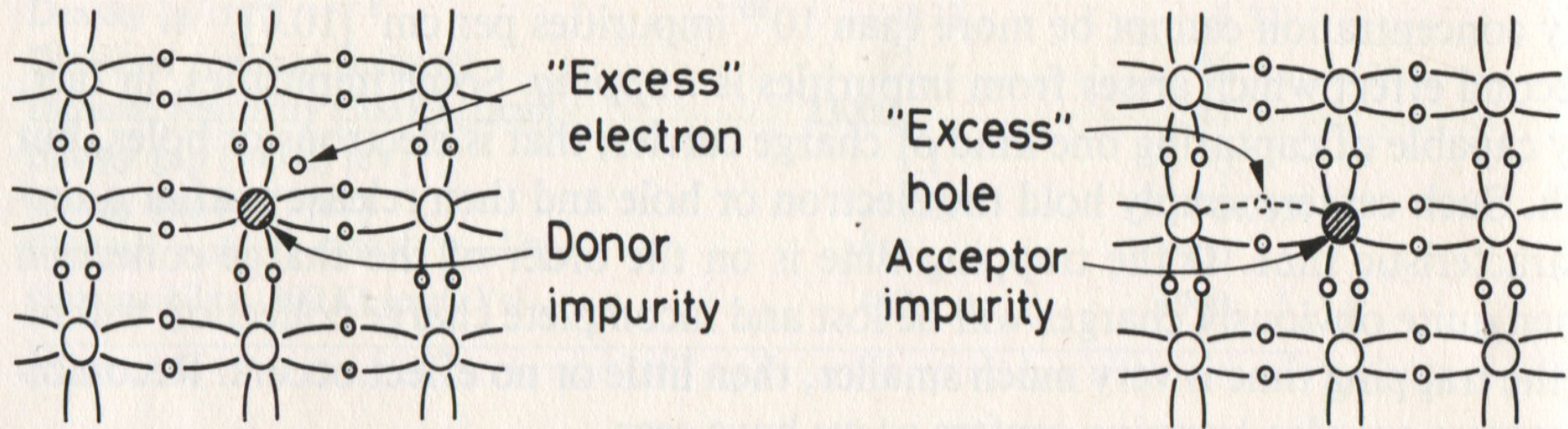


Fig. 3.29: Dotierung



n

p

Fig 3.30: np-Halbleiter

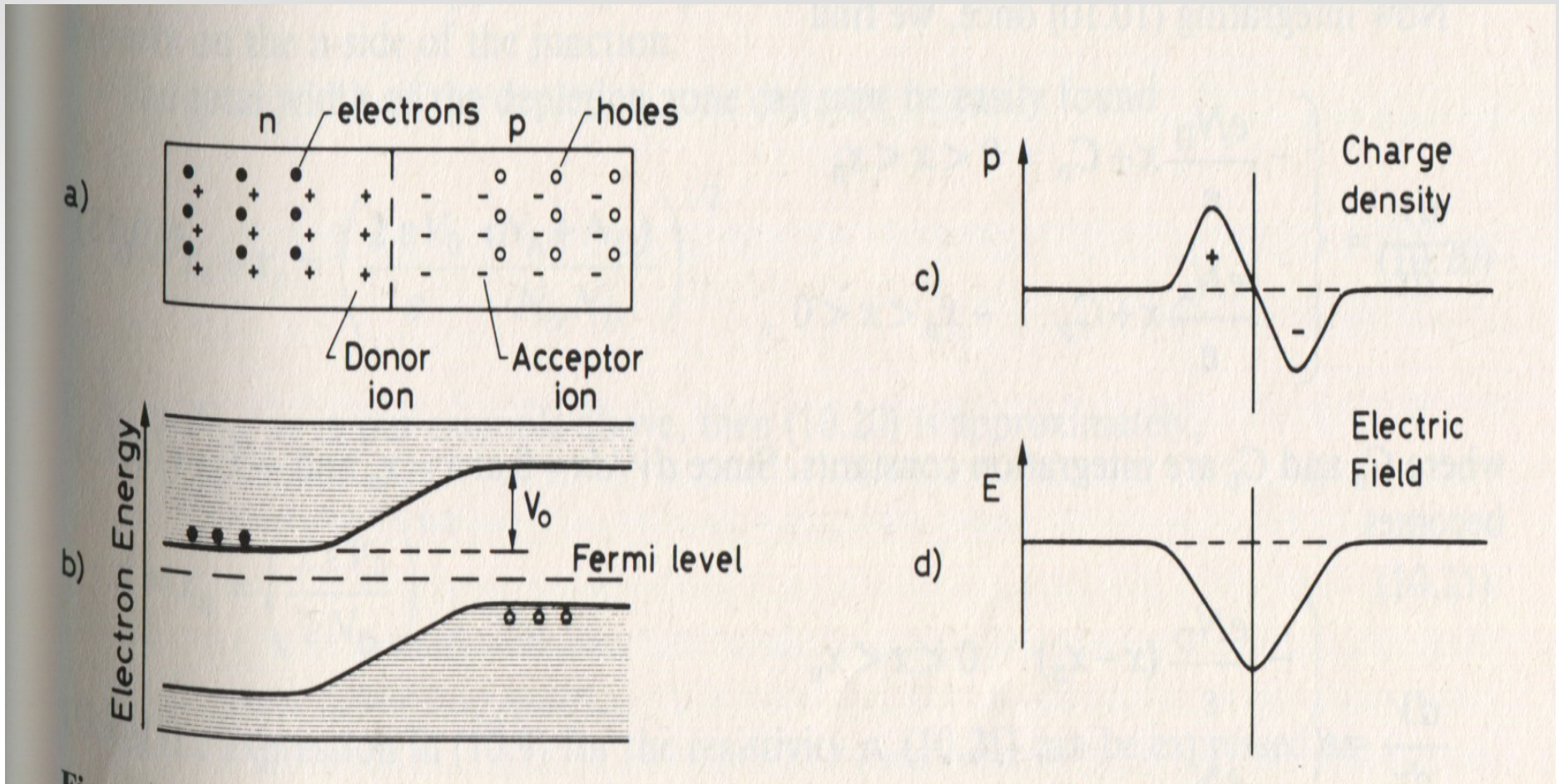


Fig 3.31: Reverse Bias Junction

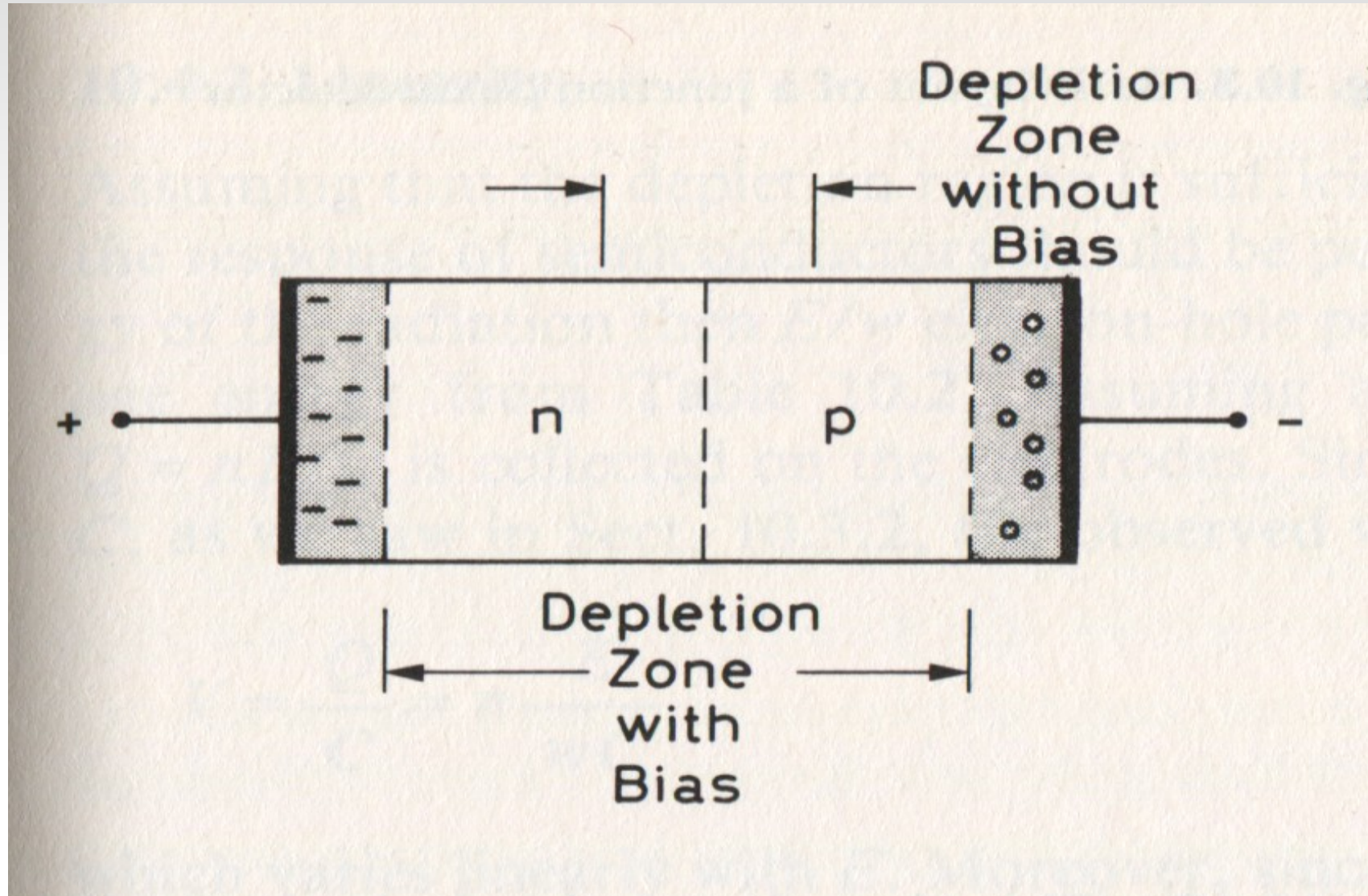


Fig 3.32: Röntgenspektrum mit Ge- und NaI-Detektor

